

Магнитооптика квантовых ям с $D^{(-)}$ -центрами

© В.Д. Кривчик, А.Б. Грунин, Вас.В. Евстифеев

Пензенский государственный университет,
440026 Пенза, Россия

(Получена 13 октября 2005 г. Принята к печати 17 октября 2005 г.)

Рассмотрены $D^{(-)}$ -состояния в квантовой яме при наличии продольного по отношению к направлению оси роста магнитного поля. В рамках модели потенциала нулевого радиуса получено уравнение, определяющее зависимость энергии связи $D^{(-)}$ -состояния от параметров потенциала структуры, координат $D^{(-)}$ -центра и величины магнитного поля. Проведено сравнение с экспериментальными данными по зависимости энергии связи $D^{(-)}$ -состояния от величины магнитного поля и показано удовлетворительное согласие с теоретическими расчетами в области магнитных полей $B < 10$ Тл. Выявлен фактор размерности в координатной зависимости энергии связи при переходе $2D \rightarrow 1D \rightarrow 0D$. Рассчитан коэффициент примесного магнитооптического поглощения многоямной квантовой структуры и исследована его спектральная зависимость. Показано, что существенный вклад в уширение линий поглощения вносит дисперсия ширины квантовых ям структуры.

PACS: 78.67.De, 75.75.+a, 73.21.Fg

1. Введение

Селективно-легированные полупроводниковые квантовые ямы (КЯ) представляют большой интерес для исследования так называемых $D^{(-)}$ -состояний, соответствующих присоединению дополнительного электрона к нейтральному мелкому донору [1–3]. Эксперименты показывают [3], что энергия связи $D^{(-)}$ -состояний в КЯ существенно зависит от величины внешнего магнитного поля. Так, в случае $D^{(-)}$ -центров в селективно-легированных многоямных структурах GaAs/AlGaAs гибридизация размерного и магнитного квантования приводит к росту энергии связи $D^{(-)}$ -состояний в несколько раз по сравнению с объемным материалом [3]. Возможность управления энергией связи $D^{(-)}$ -центров в магнитном поле позволяет в принципе изменять концентрацию носителей заряда в достаточно широких пределах вследствие экспоненциальной зависимости функции распределения от энергии вблизи уровня Ферми в КЯ. С другой стороны, теоретические и экспериментальные исследования зависимости энергии связи $D^{(-)}$ -центров от параметров потенциала структуры и магнитного поля открывают определенные перспективы для идентификации примесей. Эти исследования в сочетании с магнитооптическими методами изучения селективно-легированных КЯ [1,3] могут составить основу для разработки фотоприемников с управляемой чувствительностью в области примесного поглощения света [4].

Цель данной работы состоит в вычислении спектра $D^{(-)}$ -центра в КЯ при наличии продольного по отношению к направлению оси роста магнитного поля, а также в теоретическом исследовании эффекта гибридизации спектра примесного магнитооптического поглощения в структурах с КЯ с учетом дисперсии их ширины. Будет выполнено сравнение результатов расчета энергии связи $D^{(-)}$ -состояния с экспериментом [1,3] и показано их удовлетворительное согласие в области магнитных

полей $B < 10$ Тл. Для описания одноэлектронных состояний в КЯ используется параболический потенциал конфинмента

$$V(z) = \frac{m^* \omega_0^2 z^2}{2}, \quad (1)$$

где m^* — эффективная масса электрона, ω_0 — характерная частота удерживающего потенциала КЯ, $-L/2 \leq z \leq L/2$, L — ширина КЯ.

Векторный потенциал магнитного поля \mathbf{A} выбирается в симметричной калибровке:

$$\mathbf{A} = \frac{1}{2} B \rho \mathbf{e}_\varphi, \quad (2)$$

где $\mathbf{B} = (0, 0, B)$ — вектор магнитной индукции, \mathbf{e}_φ — единичный вектор в цилиндрической системе координат (ρ, φ, z) .

Для невозмущенных примесями одноэлектронных состояний в квантующем магнитном поле гамильтониан в выбранной модели (1) имеет вид

$$H = -\frac{\hbar^2}{2m^*} \left[\frac{1}{\rho} \frac{\partial}{\partial \rho} \left(\rho \frac{\partial}{\partial \rho} \right) + \frac{1}{\rho^2} \frac{\partial^2}{\partial \varphi^2} \right] - \frac{i \hbar \omega_B}{2} \frac{\partial}{\partial \varphi} + \frac{m^* \omega_B^2 \rho^2}{8} - \frac{\hbar^2}{2m^*} \frac{\partial^2}{\partial z^2} + \frac{m^* \omega_0^2 z^2}{2}, \quad (3)$$

где $\omega_B = |e|B/m^*$ — циклотронная частота, $|e|$ — заряд электрона.

Собственные значения $E_{n_1, m, n}$ и соответствующие собственные функции $\Psi_{n_1, m, n}(\rho, \varphi, z)$ гамильтониана (3) даются выражениями вида

$$E_{n_1, m, n} = \frac{\hbar \omega_B}{2} (2n_1 + |m| + 1) + \frac{\hbar \omega_B}{2} m + \hbar \omega_0 \left(n + \frac{1}{2} \right), \quad (4)$$

$$\Psi_{n_1, m, n}(\rho, \varphi, z) = \frac{1}{2^{|m|/2} a_B^{|m|+1} \sqrt{2^{n+1} n! \pi^{3/2} a}} \times \left[\frac{n_1!}{(n_1 + |m|)!} \right]^{1/2} \rho^{|m|} \exp \left[- \left(\frac{\rho^2}{4a_B^2} + \frac{z^2}{2a^2} \right) \right] \times L_{n_1}^{|m|} \left(\frac{\rho^2}{2a_B^2} \right) H_n \left(\frac{z}{a} \right) \exp(im\varphi), \quad (5)$$

где $n_1 = 0, 1, 2, \dots$ — радиальное квантовое число, соответствующее уровням Ландау, $m = 0, \pm 1, \pm 2, \dots$ — магнитное квантовое число, $n = 0, 1, 2, \dots$ — осцилляторное квантовое число, $a_B = \sqrt{\hbar/m^* \omega_B}$ — магнитная длина, $a = \sqrt{\hbar/m^* \omega_0}$ — характерная длина осциллятора, $L_{n_1}^{|m|}(x)$ — полиномы Лагерра, $H_n(y)$ — полиномы Эрмита.

Следует отметить, что в используемом здесь приближении амплитуда потенциала КЯ U_0 является эмпирическим параметром и, следовательно, выражения (4) и (5) справедливы, когда $U_0/\hbar\omega_0 \gg 1$, где $U_0 = m^* \omega_0^2 L^2/8$.

Потенциал примеси описывается в рамках модели потенциала нулевого радиуса $V_\delta(\rho, \varphi, z; \rho_a, \varphi_a, z_a)$ мощностью $\gamma = 2\pi\hbar^2/\alpha m^*$:

$$V_\delta(\rho, \varphi, z; \rho_a, \varphi_a, z_a) = \gamma \frac{\delta(\rho - \rho_a)}{\rho} \delta(\varphi - \varphi_a) \delta(z - z_a) \times \left[1 + (\rho - \rho_a) \frac{\partial}{\partial \rho} + (z - z_a) \frac{\partial}{\partial z} \right], \quad (6)$$

где α определяется энергией $E_i = -\hbar^2 \alpha^2 / 2m^*$ связанного состояния этого же $D^{(-)}$ -центра в объемном материале, $R_a = (\rho_a, \varphi_a, z_a)$ — координаты $D^{(-)}$ -центра.

Необходимо отметить, что моделирование $D^{(-)}$ -центра электроном в поле потенциала нулевого радиуса использовалось в ряде теоретических работ при расчете энергии связи $D^{(-)}$ -состояния в квантовых нитях и точках [4,5], а также в КЯ с потенциалом конфайнмента в виде прямоугольной потенциальной ямы конечной глубины [6]. В работе [7] проведено вычисление спектра A^+ -центра в модели потенциала нулевого радиуса в случае бесконечно глубокой КЯ. Было показано [7], что модель A^+ -системы с потенциалом нулевого радиуса достаточно хорошо описывает эксперимент и позволяет учесть химическую природу примеси.

2. Эволюция энергии связи $D^{(-)}$ -состояния с изменением величины продольного магнитного поля

В приближении эффективной массы волновая функция $\Psi_{\lambda_B}(\rho, \varphi, z; \rho_a, \varphi_a, z_a)$ электрона, локализованного

на D^0 -центре, удовлетворяет уравнению Шредингера

$$(E_{\lambda_B}^{(0)} - H) \Psi_{\lambda_B}(\rho, \varphi, z; \rho_a, \varphi_a, z_a) = V_\delta(\rho, \varphi, z; \rho_a, \varphi_a, z_a) \times \Psi_{\lambda_B}(\rho, \varphi, z; \rho_a, \varphi_a, z_a), \quad (7)$$

где $E_{\lambda_B}^{(0)} = -\hbar^2 \lambda_B^2 / 2m^*$ — собственные значения гамильтониана $H_B = H + V_\delta(\rho, \varphi, z; \rho_a, \varphi_a, z_a)$.

Одноэлектронная функция Грина к уравнению Шредингера (7) $G(\rho, \varphi, z, \rho_1, \varphi_1, z_1; E_{\lambda_B}^{(0)})$, соответствующая источнику в точке (ρ_1, φ_1, z_1) и энергии $E_{\lambda_B}^{(0)}$, запишется в виде

$$G(\rho, \varphi, z, \rho_1, \varphi_1, z_1; E_{\lambda_B}^{(0)}) = \sum_{n_1, m, n} \frac{\Psi_{n_1, m, n}^*(\rho_1, \varphi_1, z_1) \Psi_{n_1, m, n}(\rho, \varphi, z)}{E_{\lambda_B}^{(0)} - E_{n_1, m, n}}. \quad (8)$$

Используя стандартную процедуру метода потенциалов нулевого радиуса (см., например, [4]), для функции Грина в (8) получим

$$G(\rho, \varphi, z, \rho_a, \varphi_a, z_a; E_{\lambda_B}^{(0)}) = -2^{-5/2} \pi^{-3/2} \beta^{1/2} a_B^{-2} a_d^{-1} E_d^{-1} \times \int_0^\infty dt e^{-(\beta \eta_B^2 + 1/2)t} \left[\text{sh}(\beta a_B^* t) \right]^{-1} (1 - e^{-2t})^{-1/2} \times \exp \left[- \frac{(\rho_a^2 + \rho^2) \text{cth}(\beta a_B^* t)}{4a_B^2} \right] \times \exp \left[\frac{\rho_a \rho \text{ch}[i(\varphi - \varphi_a) - \beta a_B^* t]}{2a_B^2 \text{sh}(\beta a_B^* t)} \right] \times \exp \left\{ - \frac{(z_a^2 + z^2) \text{cth} t}{4\beta a_d^2} \right\} \exp \left\{ \frac{z_a z}{2\beta a_d^2 \text{sh} t} \right\}, \quad (9)$$

где $\eta_B = \sqrt{|E_{\lambda_B}^{(0)}|/E_d}$, $\beta = L^*/4\sqrt{U_0^*}$, $a_B^* = a_B/a_d$; E_d и a_d — эффективные боровская энергия и боровский радиус соответственно, $L^* = L/a_d$, $U_0^* = U_0/E_d$.

Энергия связанного состояния электрона является полюсом функции Грина, т.е. решением уравнения [4]

$$1 = \gamma(TG)(\rho_a, \varphi_a, z_a, \rho_a, \varphi_a, z_a; E_{\lambda_B}^{(0)}), \quad (10)$$

где

$$(TG)(\rho_a, \varphi_a, z_a, \rho_a, \varphi_a, z_a; E_{\lambda_B}^{(0)}) = \lim_{\substack{\rho \rightarrow \rho_a \\ \varphi \rightarrow \varphi_a \\ z \rightarrow z_a}} [1 + (\rho - \rho_a) \partial/\partial \rho + (z - z_a) \partial/\partial z] G(\rho, \varphi, z, \rho_a, \varphi_a, z_a; E_{\lambda_B}^{(0)}).$$

Подставляя (9) в (10) и выполняя необходимые предельные переходы, получим (в боровских единицах) уравнение, определяющее зависимость энергии связи

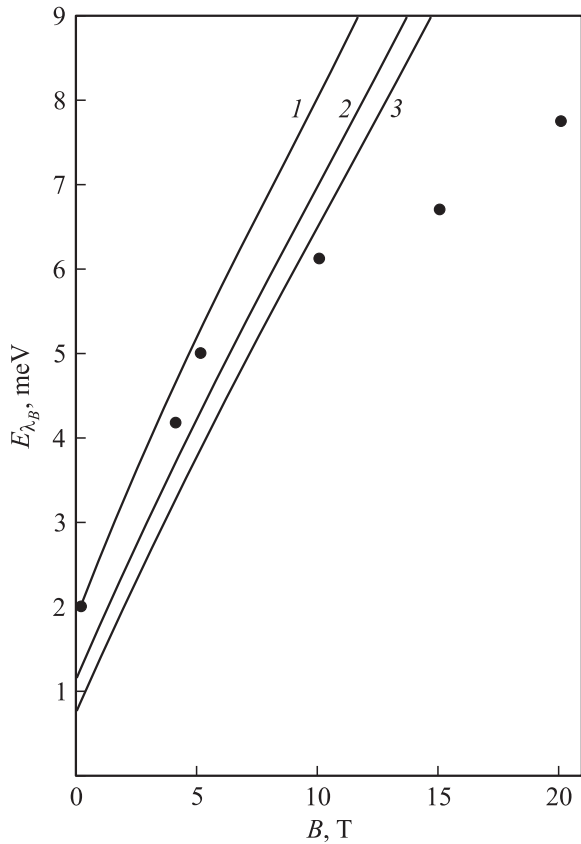


Рис. 1. Зависимость энергии связи $|E_{\lambda_B}|$ $D^{(-)}$ -центра, локализованного в точке $\mathbf{R}_a = (0, 0, 0)$, от величины магнитной индукции B в КЯ на основе GaAs при $|E_i| = 0.4$ мэВ, $L = 10$ нм для различных значений амплитуды потенциала U_0 , эВ: 1 — 0.48, 2 — 0.45, 3 — 0.4. Точки — результаты эксперимента в селективно-легированных структурах GaAs/AlGaAs [3].

$D^{(-)}$ -центра E_{λ_B} от параметров потенциала структуры, координат центра и магнитной индукции B :

$$\begin{aligned} \sqrt{|E_{\lambda_B}^*|} &= \eta_i - \sqrt{\frac{2}{\pi\beta}} \int_0^\infty dt e^{-|E_{\lambda_B}^*|\beta t} \\ &\times \left\{ \frac{1}{2t\sqrt{2t}} - \beta a_B^{*-2} (1 - e^{-2\beta a_B^{*-2}t})^{-1} \right. \\ &\left. \times (1 - e^{-2t})^{-1/2} \exp\left(-\frac{z_a^{*2} \text{th}(t/2)}{2\beta}\right) \right\}, \quad (11) \end{aligned}$$

где $|E_{\lambda_B}^*| = \eta_B^2 + a_B^{*-2} + (2\beta)^{-1}$ — энергия связи $D^{(-)}$ -центра, отсчитываемая от уровня энергии основного состояния КЯ, $z_a^* = z_a/a_d$.

Уравнение (11) соответствует случаю, когда примесный уровень расположен ниже дна КЯ, т.е. $E_{\lambda_B}^{(0)} < 0$. Если примесный уровень расположен между дном КЯ и уровнем энергии основного состояния электрона $E_{0,0,0} = \hbar(\omega_0 + \omega_B)/2$ ($E_{\lambda_B}^{(0)} > 0$), то соответствующее

уравнение для определения энергии связи $D^{(-)}$ -центра получается из (11) путем замены η_B^2 на $-\eta_B^2$. На рис. 1 показана рассчитанная с помощью (11) зависимость энергии связи $D^{(-)}$ -состояния $|E_{\lambda_B}|$ от величины магнитной индукции B в КЯ на основе GaAs для $\mathbf{R}_a = (0, 0, 0)$ (кривые 1–3). На этом же рисунке точками показаны результаты эксперимента в случае $D^{(-)}$ -центров в селективно-легированных многоямных структурах GaAs/AlGaAs [3]. К сожалению, в работе [3] не обсуждался вопрос, связанный с влиянием на точность экспериментальных данных таких факторов, как зависимость энергии связи $D^{(-)}$ -состояния от координат примесного центра, дисперсия ширины КЯ, а также приборная погрешность. Два подгоночных параметра теории U_0 и $|E_i|$ позволили оптимальным образом расположить теоретическую кривую по отношению к экспериментальным точкам. Можно видеть, что в области магнитных полей $B < 10$ Тл результаты расчета удовлетворительно согласуются с экспериментом. Как показывают численные оценки, в этом случае магнитная длина a_B оказывается больше эффективного радиуса связанного $D^{(-)}$ -состояния λ_B^{-1} (так, например, при $B = 9$ Тл: $a_B \approx 9$ нм, $\lambda_B^{-1} \approx 8$ нм), т.е. рост

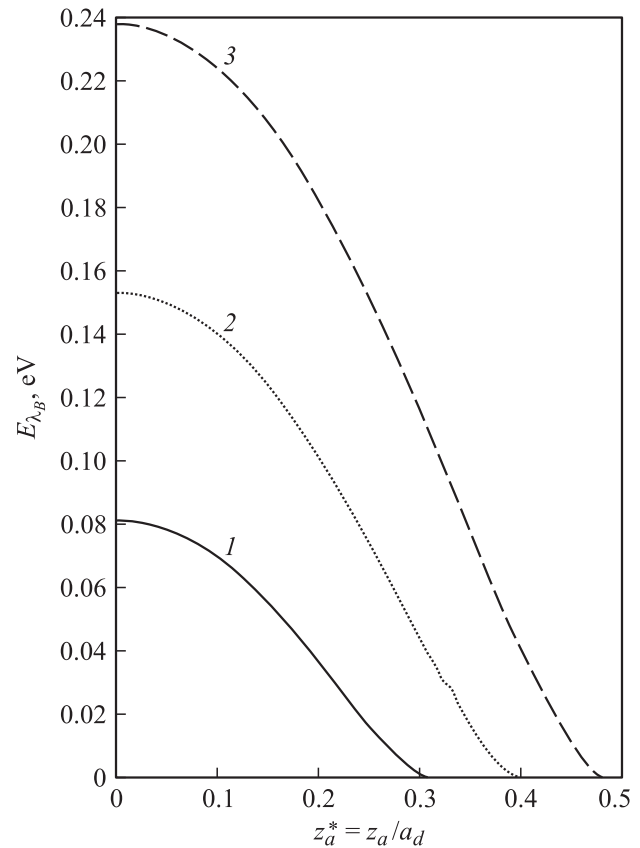


Рис. 2. Зависимость энергии связи $|E_{\lambda_B}|$ $D^{(-)}$ -центра ($E_{\lambda_B}^{(0)} > 0$) в 2D (1), 1D (2) и 0D (3) структурах на основе GaAs от координаты примеси при $|E_i| = 6.6$ мэВ, $L = 9.1$ нм, $U_0 = 0.4$ эВ, $B = 10$ Тл. В случае 1D структуры меняется радиальная координата примеси [4].

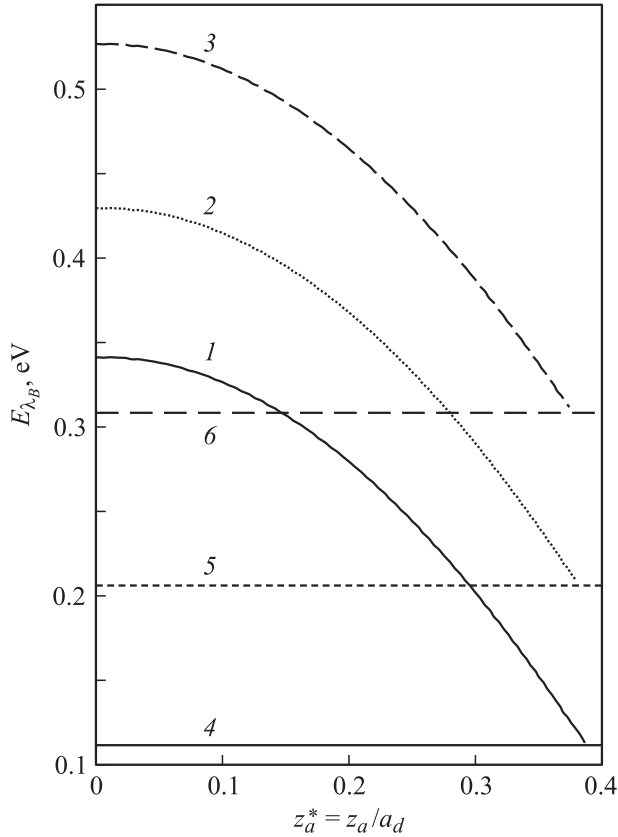


Рис. 3. Зависимость энергии связи $|E_{\lambda_B}|$ $D^{(-)}$ -центра ($E_{\lambda_B}^{(0)} < 0$) в 2D (1), 1D (2) и 0D (3) структурах на основе GaAs от координаты примеси при $|E_i| = 0.4$ мэВ, $L = 9.1$ нм, $U_0 = 0.4$ эВ, $B = 10$ Тл. 4, 5, 6 — энергии основного состояния в данных структурах [4].

энергии связи $D^{(-)}$ -центра с увеличением магнитного поля обусловлен в основном с динамикой уровней Ландау. При $B > 10$ Тл выполняется неравенство $a_B < \lambda_B^{-1}$ (например, при $B = 15$ Тл: $a_B \approx 6.5$ нм, $\lambda_B^{-1} \approx 6.7$ нм), т. е. заметной оказывается динамика примесного уровня. Следует отметить спиновые эффекты, которые не были учтены в рассматриваемой здесь модели, и этим отчасти можно объяснить различие результатов теории и эксперимента в области больших полей. Из рис. 1 видно, что с ростом амплитуды потенциала конфайнмента U_0 энергия связи $D^{(-)}$ -состояния увеличивается (ср. кривые 1 и 3) вследствие большего влияния на волновую функцию $D^{(-)}$ -центра ограничивающего потенциала КЯ. Рис. 2 дает возможность проследить фактор размерности в координатной зависимости энергии связи при переходе двумерная \rightarrow одномерная \rightarrow нульмерная структура (2D \rightarrow 1D \rightarrow 0D) ($E_{\lambda_B}^{(0)} > 0$) [3,5,8]. Можно видеть, что с понижением размерности электронного газа (2D \rightarrow 0D) энергия связи $D^{(-)}$ -состояния возрастает в несколько раз (ср. кривые 1 и 3). Это обусловлено кардинальной модификацией локальных электронных состояний вблизи границ квантовой точки [5]. Случай $E_{\lambda_B}^{(0)} < 0$ представлен

на рис. 3, из которого видно, что увеличение энергии связи $D^{(-)}$ -состояния происходит в основном за счет динамики уровней Ландау с ростом B . Таким образом, двумерные $D^{(-)}$ -состояния в продольном магнитном поле удовлетворительно описываются в рамках метода потенциала нулевого радиуса в области магнитных полей, когда радиус локализации $D^{(-)}$ -состояния не превосходит магнитной длины. В случае, когда $a_B < \lambda_B^{-1}$, необходимо учитывать спиновые эффекты.

3. Расчет коэффициента поглощения многоямной квантовой структуры в продольном магнитном поле

Рассмотрим примесное поглощение света в полупроводниковой КЯ в случае поперечной по отношению к направлению магнитного поля поляризации света. Предполагается, что $D^{(-)}$ -центр располагается в точке $\mathbf{R}_a = (0, 0, 0)$, а примесный уровень расположен ниже дна КЯ ($E_{\lambda_B}^{(0)} < 0$). Тогда, согласно (9), волновая функция $\Psi_{\lambda_B}(\rho, \varphi, z)$ электрона, локализованного на короткодействующем потенциале, запишется в виде

$$\Psi_{\lambda_B}(\rho, \varphi, z) = C_B \int_0^{\infty} dt \exp(-\beta t |E_{\lambda_B}^*|) \times [1 - \exp(-2t)]^{-1/2} [1 - \exp(-2\beta a_B^* t)]^{-1} \times \exp\left[-\frac{\rho^*2}{4a_B^*2} \operatorname{cth}(\beta a_B^* t)\right] \exp\left[-\frac{z^*2}{4\beta} \operatorname{cth} t\right], \quad (12)$$

где нормировочный множитель C_B определяется как

$$C_B = 2^{1/4} \pi^{-1} \beta^{-1/4} a_B^*^{-1} a_d^{-3/2} \times \left\{ \sum_{k_1=0}^{\infty} \frac{\Gamma(f_{2k_1+1}(\beta, \eta_B) + 1/4)}{\Gamma(f_{2k_1+1}(\beta, \eta_B) + 3/4)} \left[\Psi(f_{2k_1+1}(\beta, \eta_B) + 3/4) - \Psi(f_{2k_1+1}(\beta, \eta_B) + 1/4) \right] \right\}^{-1/2}, \quad (13)$$

где $f_{2k_1+1}(\beta, \eta_B) = [\beta \eta_B^2 + \beta a_B^*{}^{-2}(2k_1 + 1)]/2$, $\Gamma(x)$ — гамма-функция, $\Psi(x)$ — логарифмическая производная гамма-функции.

Эффективный гамильтониан взаимодействия с полем световой волны H_{int} в цилиндрической системе координат запишется в виде

$$H_{\text{int}} = -i\hbar\lambda_0 \sqrt{\frac{2\pi\hbar^2\alpha^*}{m^*2\omega}} I_0 \exp(iq_z z) \left[\cos(\varphi - \alpha) \frac{\partial}{\partial \rho} + \frac{1}{\rho} \sin(\alpha - \varphi) \frac{\partial}{\partial \varphi} - \frac{i|e|B}{2\hbar} \rho \sin(\varphi - \alpha) \right], \quad (14)$$

где λ_0 — коэффициент локального поля, $\alpha^* = |e|^2/4\pi\epsilon_0\sqrt{\epsilon}\hbar c$ — постоянная тонкой структуры с

учетом диэлектрической проницаемости ϵ , I_0 — интенсивность света, ω — частота, $\mathbf{q} = (0, 0, q_z)$ — волновой вектор, α — полярный угол единичного вектора \mathbf{e}_λ поперечной поляризации в цилиндрической системе координат.

Матричный элемент $M_{f\lambda_B}$, определяющий величину силы осциллятора дипольного оптического перехода из $D^{(-)}$ -состояния $\Psi_{\lambda_B}(\rho, \varphi, z)$ в состояния $\Psi_{n_1, m, n}(\rho, \varphi, z)$ дискретного спектра КЯ, можно представить как

$$M_{f\lambda_B} = 2^{n/2+2} (-1)^{(n+1)/2} \pi^{-1/4} \lambda_0 \sqrt{\frac{\alpha^* I_0}{\omega}} a_B^{*-1} a_d E_d \times \left\{ \sum_{k_1=0}^{\infty} \frac{\Gamma(f_{2k_1+1}(\beta, \eta_B) + 1/4)}{\Gamma(f_{2k_1+1}(\beta, \eta_B) + 3/4)} \times [\Psi(f_{2k_1+1}(\beta, \eta_B) + 3/4) - \Psi(f_{2k_1+1}(\beta, \eta_B) + 1/4)] \right\}^{-1/2} \times \delta_{n, 2k} (n!)^{-1/2} \Gamma\left(\frac{n+1}{2}\right) \left[\frac{(n_1 + |m|)!}{n_1!}\right]^{1/2} (|m|!)^{-1} \times \left(\frac{\exp(-i\alpha)\delta_{m,1}}{2f_{2n_1+1}(\beta, \eta_B) + 3/2} + \frac{\exp(i\alpha)\delta_{m,-1}}{2f_{2n_1+3}(\beta, \eta_B) + 3/2}\right), \quad (15)$$

где $\delta_{\alpha, \beta}$ — символ Кронекера; выражения для $f_{2n_1+1}(\beta, \eta_B)$ и $f_{2n_1+3}(\beta, \eta_B)$ получаются из $f_{2k_1+1}(\beta, \eta_B)$ путем замены k_1 на n_1 и $2k_1 + 1$ на $2n_1 + 3$ соответственно.

При вычислении $M_{f\lambda_B}$ появляются интегралы вида

$$I_1 = \int_0^{2\pi} d\varphi \exp(-im\varphi) \times \left\{ \exp[i(\varphi - \alpha)] + \exp[-i(\varphi - \alpha) - 2\beta a_B^{*-2}t] \right\} = 2\pi \left[\exp(-i\alpha)\delta_{m,1} + \exp(i\alpha - 2\beta a_B^{*-2}r)\delta_{m,-1} \right], \quad (16)$$

$$I_2 = \int_{-\infty}^{+\infty} dz H_n\left(\frac{z}{a}\right) \exp\left[-\frac{z^2}{a^2} \frac{1}{[1 - \exp(-2t)]}\right] = \begin{cases} a(-1)^k 2^{2k} \Gamma(k+1/2) \exp(-2kt) [1 - \exp(-2t)]^{1/2} \\ 0, & \text{если } n \neq 2k, \quad k = 0, 1, 2, \dots \end{cases} \quad (17)$$

Из (16) и (17) следует, что оптические переходы с примесного уровня возможны только в состояние КЯ с четными значениями осцилляторного квантового числа $n = 2k$ и значениями магнитного квантового числа $m = \pm 1$.

С практической точки зрения представляет интерес расчет коэффициента примесного магнитопоглощения света $K_B(\omega)$ многоямной квантовой структуры с учетом дисперсии ширины КЯ. Будем предполагать, что в

каждой КЯ структуры находится по одному $D^{(-)}$ -центру в точке $\mathbf{R}_a(0, 0, 0)$, а дисперсия ширины КЯ $u = L/\bar{L}$ (\bar{L} — среднее значение ширины КЯ) описывается распределением вида

$$P(u) = \begin{cases} \frac{1}{\sqrt{\pi}\Phi(0.5)} \exp[-(u-1)^2], & \text{если } 0.5 \leq u \leq 1.5, \\ 0, & \text{если } u < 0.5 \text{ или } u > 1.5, \end{cases} \quad (18)$$

где $\Phi(x)$ — интеграл ошибок.

Применяя стандартную процедуру расчета [4,9], для коэффициента примесного магнитопоглощения света с учетом (18) получим

$$K_B(\omega) = \frac{\sigma_0}{L_c S \sqrt{\pi} \Phi(0.5)} (\bar{\beta})^{-1} a_B^{*-2} X^{-1} \times \sum_{m=-1}^{+1} \sum_{k=0}^{N_1(\beta^*)} \sum_{n_1=0}^{N_2(\beta^*)} 2^{2k} [(2k)!]^{-1} \left(2k + \frac{1}{2}\right)^{-1} \times (n_1 + 1) \Theta\left(1.5 - \frac{\beta^*}{\bar{\beta}}\right) \Theta\left(\frac{\beta^*}{\bar{\beta}} - 0.5\right) \times \Gamma^2\left(k + \frac{1}{2}\right) \exp\left[-\left(\frac{\beta^*}{\bar{\beta}} - 1\right)^2\right] \beta^{*2} A(\beta^*) \times \left\{ \delta_{m,1} \left[\beta^* \eta_B^2 + \beta^* a_B^{*-2} (2n_1 + 1) + \frac{3}{2}\right]^{-2} + \delta_{m,-1} \left[\beta^* \eta_B^2 + \beta^* a_B^{*-2} (2n_1 + 3) + \frac{3}{2}\right]^{-2} \right\}, \quad (19)$$

где $\sigma_0 = 2^5 \pi^{1/2} \lambda_0^2 \alpha^* a_d^2$, $X = \hbar\omega/E_d$, $N_1(\beta) = [C_1] - \text{целая часть выражения } C_1 = \{\beta[X - \eta_B^2 - a_B^{*-2}(|m| + m + 1)] - 1/2\}/2$, $N_2(\beta) = [C_2] - \text{целая часть выражения } C_2 = [X - \eta_B^2 - \beta^{-1}(2k + 1/2)]/(2a_B^{*-2}) - (|m| + m + 1)/2$; $A(\beta) = 2^{-1/4} \pi \beta^{1/4} a_B^* a_d^{3/2} C_B$; L_c — средний период структуры с КЯ, S — площадь сечения структуры плоскостью, перпендикулярной ее оси роста; $\Theta(x)$ — единичная функция Хевисайда; $\beta^* = \bar{\beta} u^*$, $\bar{\beta} = \bar{L}^*/4\sqrt{U_0^*}$, $\bar{L}^* = \bar{L}/a_d$.

На рис. 4 приведена спектральная зависимость коэффициента примесного магнитопоглощения света многоямной квантовой структуры в относительных единицах $K_B(\omega)/K_0$, где $K_0 = \sigma_0/L_c S$. Как видно из рис. 4, для спектральной зависимости коэффициента поглощения характерен дублет Зеемана с ярко выраженными пиками I и I' , связанными с оптическими переходами электронов из $D^{(-)}$ -состояния в состояния с магнитным квантовым числом $m = \mp 1$ соответственно. Эффект гибридизации спектра примесного оптического поглощения проявляется в том, что расстояние между пиками в дублете определяется циклотронной частотой ω_B , а период появления дублета ($I, I' \rightarrow 2, 2'$) — гибридной частотой $\Omega = \sqrt{4\omega_0^2 + \omega_B^2}$. Амплитуда пика I' больше амплитуды пика I в первом дублете. Такая особенность пиков в первом дублете Зеемана наблюдалась экспериментально в многоямных квантовых структурах GaAs/AlGaAs [1]. Это обусловлено тем, что состояние

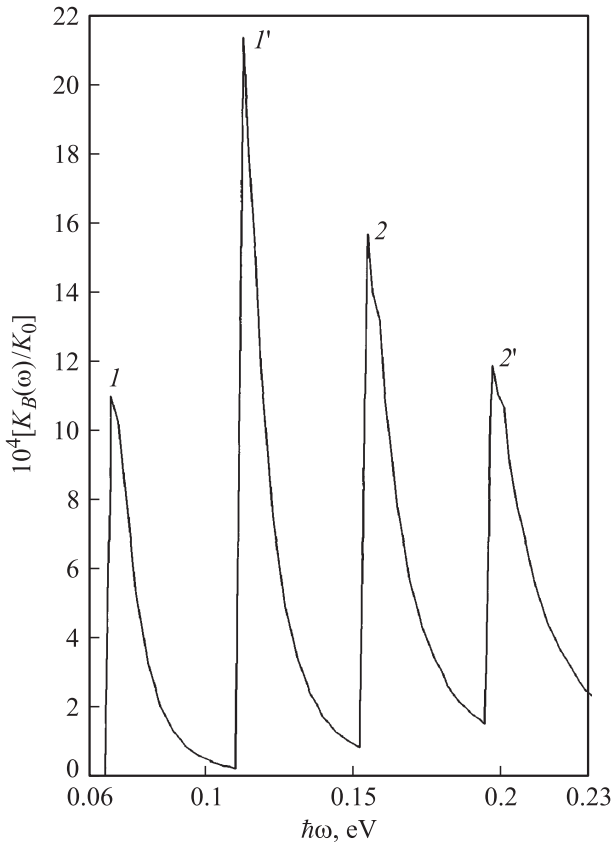


Рис. 4. Спектральная зависимость коэффициента примесного магнитопоглощения $K_B(\omega)/K_0$ (в относительных единицах) света поперечной поляризации в многоямной квантовой структуре с учетом дисперсии ширины КЯ при $|E_i| = 35$ мэВ, $\bar{L} = 72$ нм, $U_0 = 0.2$ эВ, $L_c = 432$ нм, $B = 5$ Тл.

с энергией $E_{0,+1,0}$ является двукратно вырожденным, т.е. $E_{0,+1,0} = E_{1,-1,0}$ (см. формулу (4)), причем за счет дисперсии ширины КЯ возможно увеличение кратности вырождения.

Как известно [9], в магнитном поле край полосы примесного поглощения сдвигается в коротковолновую область спектра. В случае структуры с КЯ этот сдвиг происходит по закону $(\hbar\omega)_{th} = |E_{\lambda_B}| + \hbar\omega_B/2 + (3\bar{\beta})^{-1}E_d$. Оценка величины $(\hbar\omega)_{th}$ для структуры на основе GaAs при численных значениях параметров $\bar{L} = 9.1$ нм, $U_0 = 0.2$ эВ, $|E_i| = 0.4$ эВ показывает, что при изменении магнитного поля от 0 до 10 Тл сдвиг края поглощения составляет ~ 10 мэВ. Средняя полуширина линий поглощения Δ в первом дублете, как показывает оценка, составляет $\Delta \approx 5.2$ мэВ, что несколько отличается от экспериментального значения полуширины 4.8 мэВ [1]. В работе [10] был сделан вклад в величину Δ многофононного механизма уширения линий поглощения, который составил 3.4 мэВ. Следовательно, учет дисперсии ширины КЯ является важным при оценке уширения линий поглощения в многоямных квантовых структурах в продольном магнитном поле.

Таким образом, в данной работе показано, что модель потенциала нулевого радиуса удовлетворительно описывает эксперимент с двумерными $D^{(-)}$ -центрами в продольном магнитном поле до 10 Тл, включая примесное магнитооптическое поглощение с учетом дисперсии ширины КЯ полупроводниковой структуры.

Список литературы

- [1] S. Huant, S.P. Najda, B. Etienne. Phys. Rev. Lett., **65** (12), 1486 (1990).
- [2] S. Huant, A. Mandray, J. Zhu, C.G. Louie, T. Pang, B. Etienne. Phys. Rev. B, **48** (3), 2370 (1993).
- [3] S. Huant, S.P. Najda, B. Etienne. Phys. Rev. B, **51** (7), 4637 (1995).
- [4] В.Д. Кревчик, А.Б. Грунин. ФТП, **45** (7), 1272 (2003).
- [5] В.Д. Кревчик, Р.В. Зайцев. ФТТ, **43** (3), 504 (2001).
- [6] А.А. Пахомов, К.В. Халипов, И.Н. Ясиевич. ФТП, **30** (8), 1387 (1996).
- [7] Н.С. Аверкиев, А.Е. Жуков, Ю.Л. Иванов, П.В. Петров, К.С. Романов, А.А. Тонких, В.М. Устинов, Г.Э. Цырлин. ФТП, **38** (2), 222 (2004).
- [8] В.Д. Кревчик, Р.В. Зайцев, В.В. Евстифеев. ФТП, **34** (10), 1244 (2000).
- [9] В.Д. Кревчик, А.Б. Грунин, Р.В. Зайцев. ФТП, **36** (10), 1225 (2002).
- [10] Э.П. Сиянявский, С.М. Соковнич. ФТП, **34** (7), 844 (2000).

Редактор Л.В. Шаронова

Magneto-optics of quantum wells with $D^{(-)}$ -centres

V.D. Krevchik, A.B. Grunin, Vas.V. Evstifeev

Penza State University,
440026 Penza, Russia